

02.00.04

Г90

На правах рукописи



Груба Оксана Николаевна

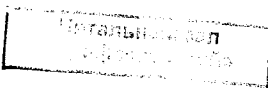
**МОДЕЛИРОВАНИЕ И РАСЧЕТ
ТЕРМОХИМИЧЕСКИХ КОНСТАНТ
ОКСИДОВ, КАРБИДОВ И СИЛИЦИДОВ ХРОМА**

Специальность 02.00.04 – «Физическая химия»

Автореферат
диссертации на соискание ученой степени
кандидата химических наук

Челябинск

2007



Работа выполнена в ГОУ ВПО «Южно-Уральский государственный университет».

Научный руководитель – доктор химических наук, профессор
Рябухин Александр Григорьевич.

Официальные оппоненты: доктор физико-математических наук,
профессор **Песин Леонид Абрамович**;
доктор химических наук,
профессор **Бухтояров Олег Иванович.**

Ведущее предприятие – ОАО «Научно-исследовательский институт металлургии» (НИИМ), г. Челябинск.

Защита состоится 16 мая 2007 г., в «____» часов, на заседании диссертационного совета Д212.298.04 Южно-Уральского государственного университета по адресу: 454080, г. Челябинск, пр. им. В.И. Ленина, 76, ЮУрГУ.

С диссертацией можно ознакомиться в библиотеке ЮУрГУ.

Автореферат разослан «____» 2007 г.

Ученый секретарь диссертационного совета,
доктор физико-математических наук


Гельчинский Б.Р.

ОБЩАЯ ХАРАКТЕРИСТИКА РАБОТЫ

Актуальность работы. В настоящее время происходит интенсивное расширение экспериментальных данных о термохимических свойствах различных веществ и термодинамических параметрах химических реакций. Вместе с тем быстрое расширение номенклатуры химических соединений, применяющихся в различных отраслях новой техники, приводит к тому, что экспериментальное определение термохимических параметров различных веществ и реакций не успевает удовлетворять все возрастающим потребностям в новых данных, что и является предпосылкой к созданию разнообразных методов приближенных расчетов. В настоящее время отсутствуют убедительные методики расчета термохимических характеристик (C_p° , S° , Δ_fH° и Δ_fG°) для малоизученных кристаллических веществ, адекватные имеющимся справочным данным.

Цель и основные задачи. Цель данной работы состоит в определении термохимических параметров (C_p° , S° , Δ_fH° и Δ_fG°) для бинарных кристаллических соединений хрома (оксидов, карбидов и силицидов) произвольного состава. Для достижения поставленной цели требуется решить следующие задачи:

- разработать математические модели расчета стандартной молярной теплопроводности C_p° и стандартной энтропии S° бинарных кристаллических соединений металлов Me_A_2 , (компонент A – кристаллическое вещество);
- разработать математическую модель расчета энтропии S_T° бинарных кристаллических соединений металлов при температурах, отличающихся от стандартной;
- опираясь на разработанные математические модели и известные термодинамические зависимости, рассчитать C_p° , S_T° , $\Delta_fS_T^{\circ}$, $\Delta_fH_T^{\circ}$ и $\Delta_fG_T^{\circ}$ оксидов, карбидов и силицидов хрома при различных температурах.

Научная новизна выносимых на защиту результатов работы:

- построены математические модели расчета теплопроводности, энтропии при стандартных условиях в зависимости от состава бинарного соединения Me_A_2 , если при стандартных условиях компонент A – кристаллическое вещество;
- разработана математическая модель расчета энтропии бинарных кристаллических соединений при различных температурах.

Практическая значимость работы:

- рассчитаны термохимические характеристики (C_p^o , S_{298}^o , $\Delta_f H_{298}^o$ и $\Delta_f G_{298}^o$) малоизученных экспериментально оксидов, карбидов и силицидов хрома;
- уточнены значения известных термохимических характеристик некоторых оксидов, карбидов и силицидов хрома при стандартных условиях;
- определены уравнения зависимостей молярной теплоемкости от температуры для стехиометрических и нестехиометрических оксидов (Cr_3O , CrO , Cr_3O_4 , Cr_2O_5 , Cr_5O_{12} , Cr_2O_5), карбидов (Cr_6C , Cr_4C , Cr_3C , Cr_5C_2) и силицидов хрома (Cr_2Si , Cr_2Si_3);
 - рассчитаны величины S_T^o , $\Delta_f S_T^o$, $\Delta_f H_T^o$ соединений хрома (оксидов, карбидов, силицидов) произвольного состава;
 - рассчитаны значения энергий Гиббса образования оксидов, карбидов и силицидов хрома произвольного состава при различных температурах.

Апробация работы. Основные материалы диссертации были представлены на Второй международной научно-практической конференции «Исследование, разработка и применение высоких технологий в промышленности» (февраль 2006 г., г. Санкт-Петербург); на 8-м Российском семинаре «Компьютерное моделирование физико-химических свойств стекол и расплавов» (октябрь 2006 г., г. Курган).

Публикации. Основное содержание работы отражено в 11 публикациях.

Структура и объем работы. Диссертация состоит из введения, пяти глав, выводов и библиографического списка из 73 наименований, приложений, изложена на 135 страницах машинописного текста, содержит 16 рисунков и 36 таблиц.

ОСНОВНОЕ СОДЕРЖАНИЕ РАБОТЫ

Введение обоснован выбор в качестве объектов исследования бинарных систем: «хром – кислород» (оксиды CrO_x), «хром – углерод» (карбиды CrC_x) и «хром – кремний» (силициды CrSi_x).

В первой главе обобщены и проанализированы существующие методики расчета (теоретические модели и методы приближенных расчетов) основных термохимических характеристик для кристаллических веществ на базе работ В.М. Латимера, В.А. Киреева, М.Х. Карапетьянца, В.В. Тарасова, А.Ф. Канус-

тинского, В.В. Фомина, А.Г. Рябухина, Г.К. Моисеева и др. Показано, что для расчета теплоемкостей бинарных кристаллических соединений MeA_x (компонент A_2 – газ) наиболее корректным является использование гиперболической модели А.Г. Рябухина. Основные положения модели:

- диаграмма «свойство–состав» делится на n областей квазиравновесных твердых растворов (ОР), в каждой из которых выделяется кристаллообразующее вещество (*KO*) – устойчивое соединение с известной структурой и термохимическими характеристиками;
- монотонное изменение свойства соединений с изменением состава внутри каждой ОР сопровождается переходом от одной кристаллической структуры к другой, что выражается структурным коэффициентом K_n , являющимся специфической величиной для каждой конкретной области; структурный коэффициент любой области является комбинацией линейных характеристик расположения частиц k соединений, соответствующих границам областей (или близких к ним), с учетом координационных чисел решеток $k_{\text{ср}}$;
- аналитическое уравнение для расчета теплоемкости

$$C_p^{-1}(MeA_x) = C_p^{-1}(KO) \pm \frac{x - x_{KO}}{\frac{1}{2}C_p(A_2) + (1 + K_n)C_p(KO)}, \quad (1)$$

где $C_p(KO)$ – молярная теплоемкость кристаллообразующего вещества; x_{KO} и x – отношение числа моль газообразного компонента A на число моль металла в кристаллообразующем и в рассматриваемых соединениях соответственно.

Для определения температурных зависимостей теплоемкостей бинарных соединений произвольного состава принято, что в области устойчивости кристаллообразующего компонента (отсутствие в данном температурном интервале полиморфизма) структурный коэффициент K_n не зависит от температуры. Таким образом, зависимость теплоемкости MeA_x от температуры определяется температурными зависимостями теплоемкостей кристаллообразующего вещества (металла) и газообразного компонента A_2 .

Далее показано, что существующие методики расчета энтропии и энталпии образования кристаллических веществ из-за отсутствия теоретической базы не универсальны и дают лишь избирательную согласованность с экспериментом, а отсутствие учета внутреннего строения вещества не позволяет достоверно оценить термохимические характеристики нестехиометрических соединений.

Вторая глава посвящена описанию используемых математических моделей расчета молярной теплоемкости, энтропии, энталпии образования и энергии

Гиббса образования. Основные понятия и обозначения принятые те же, что и в гиперболической модели расчета теплоемкости А.Г. Рябухина. Для всех используемых моделей при определении структурных коэффициентов K_n областей предложена преемственность линейных характеристик расположения частиц k , описывающих структуры граничных соединений.

В математической модели расчета теплоемкости для случаев, когда при стандартных условиях второй компонент A является кристаллическим веществом, уравнение (1) преобразуем:

$$C_p^{-1}(MeA_x) = C_p^{-1}(KO) \pm \frac{x - x_{KO}}{K_n[x_n C_p(A) + C_p(KO)]}, \quad (2)$$

где x_n – координата внешней (правой) границы рассматриваемой ОТР.

При разработке математической модели расчета энтропии бинарных кристаллических соединений произвольного состава были использованы основные положения модели, предложенной А.Г. Рябухиным для расчета энтропии соединений вида MeA_2 (компонент A_2 – газ).

1. Энтропия сложного вещества складывается из двух независимых величин: S_m (индекс от слова *mass*), связанной с массой, и S_{in} (от *interaction*), определяемой межчастичным взаимодействием:

$$S = S_m + S_{in}. \quad (3)$$

2. Первое слагаемое $S_m = \frac{1}{2} R \ln M$, где R – универсальная газовая постоянная; M – относительная атомная масса металла или молекулярная масса соединения, отнесенная к одному молю металла.

3. Обратная величина S_{in} бинарного вещества определяется из обратных величин S_{in} компонентов с учетом состава и кристаллических структур. В общем виде расчетное уравнение зависимости ΔS_{in}^{-1} соединения от его состава x выглядит следующим образом:

$$S_{in}^{-1}(MeA_x) = S_{in}^{-1}(KO) \pm \frac{x - x_{KO}}{K_n[S_{in}(A) + S_{in}(KO)]}. \quad (4)$$

4. Для случая, когда при стандартных условиях компонент A – кристаллическое вещество, в работе предложено использовать следующее уравнение:

$$S_{in}^{-1}(MeA_x) = S_{in}^{-1}(KO) \pm \frac{x - x_{KO}}{K_n[x_n S_{in}(A) + S_{in}(KO)]}. \quad (5)$$

5. При расчете энтропий бинарных кристаллических соединений произвольного состава для различных температур предполагалось, что величина K_n не зависит от температуры.

Согласно используемой модели, предложенной А.Г. Рябухиным, стандартная энталпия образования $\Delta_f H_{298}^\circ(MeA_x)$ выражается в единицах удельной энталпии h :

$$h = \frac{-\Delta_f H_{298}^\circ}{\Sigma z}, \quad (6)$$

где $\Sigma z = z(Me) + x z(A)$ (z – порядковые номера элементов в Периодической таблице Д.И. Менделеева). Зависимость h от состава в рамках одной ОТР можно описать уравнением вида

$$h = a_h + K_n x. \quad (7)$$

Графически эта зависимость имеет вид ломаной прямой. Координаты точек перелома отвечают границам между областями твердых растворов.

Расчет $\Delta_f G_T^\circ$ проводился по уравнению Гиббса. Для определения энтропии образования вещества $\Delta_f S_T^\circ(Me_y A_z)$ использовали уравнение

$$\Delta_f S_T^\circ(Me_y A_z) = S_T^\circ(Me_y A_z) - [y S_T^\circ(Me) + z S_T^\circ(A)], \quad (8)$$

где $S_T^\circ(Me_y A_z)$, $S_T^\circ(Me)$, $S_T^\circ(A)$ – абсолютные энтропии соединения $Me_y A_z$, металла и второго компонента A , соответственно. Очевидно, что удельная энергия Гиббса g , определяемая из уравнения

$$g = -\frac{\Delta_f G_{298}^\circ}{\Sigma z}, \quad (9)$$

подобно удельной энталпии h , характеризуется такими же областями твердых растворов. Зависимости $h(x)$ и $\Delta S_m^{-1}(x)$ внутри ОТР являются линейными функциями состава, следовательно, и зависимость $g(x)$ должна иметь аналогичный линейный характер:

$$g = a_g + K_n x. \quad (10)$$

Линейная зависимость удельной энергии Гиббса от состава в пределах одной области твердых растворов при стандартных условиях позволяет рассчитать $\Delta_f G_{298}^\circ$ для веществ любого состава, находящихся в этой области.

При температурах, отличных от стандартной, зависимость $g - x$ перестает быть линейной, так как структурный коэффициент K_g , являясь комбинацией $K_h(h - x)$ и $K_s T(\Delta S_m^{-1} - x)$, фактически представляет собой полуэмпирическую величину, зависящую от температуры.

В работе C_p , S , ΔS выражены в Дж/моль·К, $\Delta_f H$, $\Delta_f G$ – в кДж/моль·К.

В третьей главе по изложенным выше методикам проведены расчеты термохимических характеристик для бинарных кристаллических соединений системы «хром – кислород».

В литературе упоминается более двадцати оксидов хрома, главным образом нестехиометрического состава. Полная информация о структуре и термохимических характеристиках приводится только для четырех из них. Расчеты стандартной молярной теплоемкости оксидов хрома и их температурные зависимости проведены и подробно описаны в работах А.Г. Рябухина и М.А. Стенникова

ЭНТРОПИЯ. Анализ имеющихся экспериментальных данных по системе Cr – O позволил считать, что поле диаграммы $S_{in}^{-1} - x$ содержит три области:

OTP-1: Cr(OЦК-2) – Cr₂O(кубич.-4) – ... – CrO(ГЦК-4);

OTP-2: CrO(ГЦК-4) – ... – Cr₂O₃(ГПУ-4);

OTP-3: Cr₂O₃(ГПУ-4) – ... – CrO₂(тетраг.-4) – ... – CrO₃(ромб.-4).

OTP-1: Cr – CrO ($x = 0 \dots 1,0$), KO – Cr. Металлический хром кристаллизуется в ОЦК структуре (α-Fe), CrO – ГЦК (NaCl), тогда

$$K_1 = k_{\text{OЦК}} \cdot k_{\text{куб}} \cdot k_{\kappa_V} = \frac{\sqrt{2}}{8} \cdot \frac{1}{8} \cdot 4 = 0,088388$$

OTP-2: CrO – Cr₂O₃ ($x = 1,0 \dots 1,5$), KO – Cr₂O₃ (CrO_{1,5}). Во второй OTP наблюдается переход от структуры ГЦК (NaCl), в которой кристаллизуется оксид хрома (II), к структуре ГПУ или ромбоэдрической (РЭ), характерной для соединения Cr₂O₃, принадлежащего верхней границе этой области,

$$K_2 = k_{\text{куб}} \cdot k_{\text{ГПУ}} \cdot k_{\kappa_V} = \frac{1}{8} \cdot \frac{\sqrt{3}}{4} \cdot 4 = 0,216506.$$

OTP-3: Cr₂O₃ – CrO₃ ($x = 1,5 \dots 3,0$), KO – Cr₂O₃ (CrO_{1,5}). В третьей OTP происходит переход от ГПУ-структуре к ромбической

$$K_3 = k_{\text{ГПУ}} \cdot k_{\text{ромб}} \cdot k_{\kappa_V} = \frac{\sqrt{3}}{4} \cdot \frac{\sqrt{6}}{9} \cdot 4 = 0,471405.$$

Уравнение (4) для OTP-1, 2 и 3 соответственно принимает вид:

$$S_{in}^{-1}(\text{CrO}_x) = S_{in}^{-1}(\text{Cr}) - \frac{x - 0}{K_1[S_{in}(\text{O}) + S_{in}(\text{Cr})]}, \quad (11)$$

$$S_{in}^{-1}(\text{CrO}_x) = S_{in}^{-1}(\text{CrO}_{1,5}) + \frac{x - 1,5}{K_2[S_{in}(\text{O}) + S_{in}(\text{CrO}_{1,5})]}, \quad (12)$$

$$S_{in}^{-1}(\text{CrO}_x) = S_{in}^{-1}(\text{CrO}_{1,5}) - \frac{x - 1,5}{K_3[S_{in}(\text{O}) + S_{in}(\text{CrO}_{1,5})]}. \quad (13)$$

Или окончательно после подстановки численных величин для $T = 298$ К:

$$S_{in}^{-1}(CrO_x) = 0,13931 - 0,11525x, \quad x = 0...1,0; \quad (14)$$

$$\Delta S_{in}^{-1}(CrO_x) = -0,01673 + 0,04067x, \quad x = 1,0...1,5; \quad (15)$$

$$S_{in}^{-1}(CrO_x) = 0,07232 - 0,01870x, \quad x = 1,5...3,0. \quad (16)$$

Результаты расчетов по уравнениям (14)–(16) для ОТР-1, ОТР-2 и ОТР-3 приведены в табл. 1 и на рис. 1 (линия 1).

Таблица 1

Экспериментальные данные и результаты расчета молярных энтропий ($\text{Дж}/\text{моль}\cdot\text{К}$) кристаллических оксидов хрома, $T = 298$ К

Вещество	Структура	$S_{298}^o(\text{эксп.})$	S_m	$S_{in}^{-1}(\text{эксп.})$	$S_{in}^{-1}(\text{расч.})$	$S_{298}^o(\text{расч.})$
Cr	ОПК (α -Fe)	$23,604 \pm 0,209$	16,426	0,13931		..
Cr_3O_4 $CrO_{0,333}$	Кубич.	–	16,832	–	0,10089	80,229 26,743
CrO	ГЦК (NaCl)	$59,620 \pm 0,126$	17,541	0,02376	$0,02400 \pm 0,0006$	$59,208 \pm 0,104$
Cr_3O_4 $CrO_{1,333}$	Шпинель ($MgAl_2O_4$)	–	17,833	–	0,04115	133,413 44,471
Cr_2O_3 $CrO_{1,5}$	ГПУ (α - Al_2O_3)	$81,170 \pm 1,256$ 40,585	18,003	0,04428	0,04428	81,182 $\pm 0,004$ 40,591 $\pm 0,002$
Cr_3O_5 $CrO_{1,667}$	–	–	18,147	–	0,04115	127,338 42,446
CrO ₂	Тетрагон.	$47,018 \pm 0,419$	18,420	0,03497	0,03492	47,058
Cr_3O_{12} $CrO_{2,4}$	Ромбич.	281 56,2	18,725	0,02668	0,02744	275,840 55,168
Cr_2O_5 $CrO_{2,5}$	Монокл.	116 58	18,798	0,02551	0,02557	115,812 57,906
CrO ₃	Ромбич.	$80,512 \pm 1,256$	19,144	0,01630	0,01622	80,796

Совместное решение уравнений модели позволяет аналитически определить составы оксидов, соответствующих границам раздела областей твердых растворов: $x_{1-2}(CrO_x) = 1,00077$ и $x_{2-3}(CrO_x) = 1,49992$, что подтверждает правильность выбора границ областей.

Второй компонент O₂ оксидов при стандартных условиях находится в газообразном состоянии. Изменение температуры оказывает неоднозначное воздействие на энтропию веществ, находящихся в разных агрегатных состояниях (газ, кристалл), а соответственно и на ΔS_{in} каждого из них. Таким образом, используя

зование в качестве первого приближения $K_n(298) \approx K_n(T)$ при расчетах энтропии в данном случае недопустимо. Для расчета величин S_T использовали уравнение Кирхгофа и температурные зависимости $C_p(T)$, приведенные в литературе, а также полученные из расчетов А.Г. Рябухина и М.А. Стенникова. Графическая интерпретация результатов расчетов (рис. 1) показывает, что характер зависимости $S_{in}^{-1}(x)$ и при температурах, отличающихся от 298 К, остается прежним во всех областях

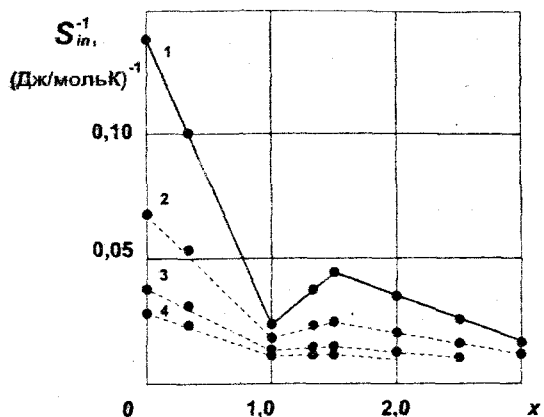


Рис. 1. Изотермы зависимости обратной энтропии взаимодействия оксидов хрома от состава:
1 – 298 К, 2 – 400 К, 3 – 600 К, 4 – 800 К,
• – эксперимент, — – расчет

ОТР с границами $x_{1-2}(\text{CrO}_x) = 1,0$ (соединение CrO) и $x_{2-3}(\text{CrO}_x) = 1,5$ (соединение Cr_2O_3). При сохранении линейного характера зависимости $S_{in}^{-1} - x$ в пределах каждой ОТР угол наклона меняется, что связано с температурной зависимостью энтропий взаимодействия компонентов. С ростом температуры состав, отвечающий границе раздела областей ОТР-1 и ОТР-2 стремится к 1,0 (оксид CrO).

ЭНТАЛЬПИЯ ОБРАЗОВАНИЯ. В связи с тем, что переход от одной области к другой (границы между областями) определяется изменением структуры соединений, положим, что и для диаграммы $h - x$ количество областей и их границы останутся прежними.

В области ОТР-1 ($x = 0 \dots 1,0$) в соответствии с $\Delta_f H_{298}^\circ(\text{Cr, kp.}) = 0$ уравнение, описывающее зависимость стандартной удельной энталпии от состава (уравнение (7)) упрощается

$$h_1(\text{CrO}_x) = \frac{-\Delta_f H_{298}^\circ(\text{CrO})}{\Sigma z(\text{CrO})} \cdot x = 12,9130x. \quad (17)$$

В ОТР-2 ($x = 1,0 \dots 1,5$) происходит переход от структуры ГЦК (соединение CrO) к ГПУ (соединение Cr_2O_3). Этому соответствует структурный коэффици-

ент K_2 , учитывающая изменение координационного числа решетки от $\kappa_{\text{ку}} = 6$ до $\kappa_{\text{ку}} = 12$. $K_2 = (\sqrt{3} - 1) \cdot 8 = 5,8564$.

Уравнение (7) для данной области принимает вид

$$h_2(\text{CrO}_x) = 7,0564 + 5,8564 x. \quad (18)$$

В третьей области ($x = 1,5 \dots 3,0$) преобладающей структурой остается ГПУ с $\kappa_{\text{ку}} = 12$. В результате сочетания структурных констант примитивной кубической и ГПУ систем получаем $K_3 = \frac{2}{3} \cdot (\sqrt{2} - 1) \cdot \frac{1}{\sqrt{2}} \cdot 12 = 2,3432$. Расчетное уравнение для ОТР-3 выглядит следующим образом:

$$h_3(\text{CrO}_x) = 19,3555 - 2,3432 x. \quad (19)$$

Результаты расчетов по уравнениям (17)–(19) приведены в таблице 2.

Таблица 2

Стандартная энталпия образования оксидов хрома (кДж/моль)

Вещество	Σz	$-\Delta_f H_{298}^{\circ(\text{эксп.})}$	$h_{1,2,3}$	$-\Delta_f H_{298}^{\circ(\text{расч.})}$
Cr	24	0	0	0
Cr_3O $\text{CrO}_{0,333}$	26,6666	—	4,3043	344,343 114,781
CrO	32	413,216	12,9130 ур. (18) 12,9128 ур. (19)	413,213 ± 0,003
Cr_2O_3 $\text{CrO}_{1,5}$	36	1140,558 ± 1,674 570,279 ± 0,837	15,8410 ур. (19) 15,8407 ур. (20)	1140,541 ± 0,011 570,271 ± 0,006
Cr_3O_5 $\text{CrO}_{1,667}$	37,3334	—	15,4502	1730,419 576,806
CrO ₂	40	588,27	14,6691	586,764
Cr_5O_{12} $\text{CrO}_{2,4}$	43,2	2966,5 593,3	13,7318	2966,073 593,215
Cr_2O_5 $\text{CrO}_{2,5}$	44	1200 600	13,4975	1187,780 593,890
CrO ₃	48	590,362 ± 3,347	12,3259	591,643

Данные расчетов и экспериментов согласуются в пределах доверительных интервалов последних. Для граничного оксида Cr₂O₃ этот интервал значительно сужен.

Расчеты $\Delta_f H_T^0$ для оксидов хрома проводились по уравнению Кирхгофа.

СВОБОДНАЯ ЭНЕРГИЯ ГИББСА ОБРАЗОВАНИЯ. Расчет $\Delta_f G_{298}^{\circ}$ (CrO_x) проводился по уравнению $\Delta G = \Delta H - T\Delta S$. Значения $\Delta_f G_T^{\circ}$ при температурах, отличных от стандартной, рассчитывались аналогично.

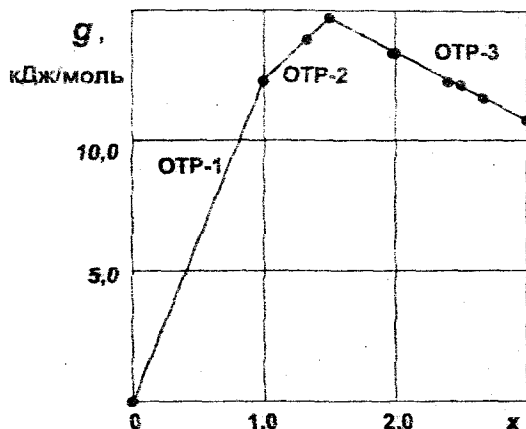


Рис. 2. Зависимость стандартной удельной энергии Гиббса образования оксидов хрома от состава:
• – эксперимент, — – расчет

На рис. 2 графически представлен вид зависимости $g(x)$. График зависимости удельной энергии Гиббса g от состава x , подобно удельной энталпии h , образует при стандартных условиях три области твердых растворов в функции от состава x . Границы областей остаются теми же. Определенные аналитические зависимости $g(x)$ для каждой из трех выделенных ОТР позволили рассчитать $\Delta_f G$ для любых соединений, состав которых определен.

В четвертой главе рассмотрена система «хром – углерод».

ТЕПЛОЕМКОСТЬ. Из анализа имеющихся справочных данных следует, что в системе Cr–C должны быть выбраны две области твердых растворов:

OTP-1: $\text{Cr(OЦК-2)} - \text{Cr}_4\text{C(ГЦК-4, OЦК-1)} - \text{Cr}_{23}\text{C}_6(\Gamma ЦК-4) - \text{Cr}_5\text{C}_2(\Gamma ПУ-2)$;
OTP-2: $\text{Cr}_5\text{C}_2(\Gamma ПУ-2) - \text{Cr}_7\text{C}_3(\Gamma ПУ-8) - \text{Cr}_3\text{C}_2(\text{ромб.-4})$.

OTP-1: $\text{Cr} - \text{Cr}_5\text{C}_2$ ($x = 0 \dots 0,4$), KO – Cr. Для первой области структурный коэффициент $K_1 = k_{\text{OЦК}} \cdot k_{\text{ГПУ-2}} \cdot \kappa_{KЧ} = \frac{\sqrt{3}}{2} \cdot \frac{1}{2} \cdot 4 = 1,73205$.

OTP-2: $\text{Cr}_5\text{C}_2 - \text{Cr}_3\text{C}_2$ ($x = 0,4 \dots 0,66667$), KO – Cr_7C_3 . Во второй ОТР структурный коэффициент $K_2 = k_{\text{ГПУ-2}} \cdot k_{\text{ромб.-4}} \cdot \kappa_{KЧ} = \frac{1}{2} \cdot (\sqrt{3} - 1) \cdot 6 = 2,19615$.

Расчетные уравнения (2) для OTP-1 и OTP-2 принимают соответственно вид:

$$C_p^{-1}(\text{CrC}_x) = 0,04246 - 0,02141x, \quad (20)$$

$$C_p^{-1}(\text{CrC}_x) = 0,03900 - 0,01281x. \quad (21)$$

Для определения теплоемкостей карбидов хрома при различных температурах использовались имеющиеся в литературе зависимости $C_p = f(T)$ для хрома, углерода и кристаллообразующего карбида – Cr₇C₃. Результаты расчетов представлены в табл. 3. В верхних строках таблицы указаны теплоемкости, рассчитанные по полиномам, приведенным в справочной литературе, в нижних – рассчитанные по предлагаемой методике.

Таблица 3
Молярные теплоемкости карбидов хрома
при различных температурах (Дж/моль·К)

Вещество	Температура, К					
	298	400	600	800	1000	1200
Cr	23,550±0,126	27,007	30,262	32,686	34,870	36,958
C	8,554±0,167	13,405	17,318	19,276	20,667	21,836
Cr ₆ C	154,272	176,174	197,028	212,706	226,849	240,442
Cr ₄ C	107,816±0,418 107,792	122,809	137,180	148,055	157,891	166,206
Cr ₂₃ C ₆	624,523±2,929 623,714	709,412 710,381	796,546 793,375	854,100 856,240	903,099 913,116	948,730 959,046
Cr ₃ C	84,926	96,701	107,875	116,162	122,473	128,098
Cr ₅ C ₂	147,695±1,255 147,550±0,047	167,086	186,187	198,446	208,746	218,323
Cr ₇ C ₃	208,865±0,837 208,893	236,349 236,327	263,236 263,257	280,560 280,561	295,119 295,110	308,589 308,642
Cr ₃ C ₂	98,324±0,209 98,491	110,931 110,779	122,902 123,031	130,415 130,995	136,638 137,729	142,354 144,015

После математической обработки результатов расчета температурные зависимости теплоемкостей малоизученных карбидов хрома могут быть представлены в виде полиномов:

$$C_p(\text{Cr}_6\text{C}) = 168,253 + 61,501 \cdot 10^{-3}T - 28,304 \cdot 10^5 T^{-2}, \quad (22)$$

$$C_p(\text{Cr}_4\text{C}) = 116,962 + 42,903 \cdot 10^{-3}T - 19,228 \cdot 10^5 T^{-2}, \quad (23)$$

$$C_p(\text{Cr}_3\text{C}) = 95,824 + 28,146 \cdot 10^{-3}T - 17,155 \cdot 10^5 T^{-2}, \quad (24)$$

$$C_p(\text{Cr}_5\text{C}_2) = 168,684 + 43,068 \cdot 10^{-3}T - 30,123 \cdot 10^5 T^{-2}. \quad (25)$$

Линия, соединяющая точки раздела областей твердых растворов, до температуры приблизительно 600 К остается практически вертикальной с незначительным наклоном в сторону меньшего содержания углерода (x_{1-2} меняется от 0,40233 до 0,39360). При дальнейшем повышении температуры наблюдается явное смещение границы к соединениям с меньшим содержанием углерода до $x_{1-2} = 0,20576$ при 1200 К. Температурная зависимость молярной теплоемкости граничных карбидов имеет вид

$$C_p(\text{CrC}_{x_{1-2}}) = 36,742 + 3,053 \cdot 10^{-3}T - 7,525 \cdot 10^5 T^{-2}. \quad (26)$$

ЭНТРОПИЯ. Анализ имеющихся экспериментальных данных по энтропиям карбидов хрома (табл. 4) показал, что в системе Cr – С следует выделить две ОТР: первая включает соединения с кубической структурой, вторая – с более сложной. Границы областей, кристаллообразующие соединения остаются прежними.

ОТР-1: Cr – Cr₅C₂ ($x = 0 \dots 0,4$), KO – Cr. Для первой области структурный коэффициент $K_1 = k_{\text{ОЦК-2}} \cdot k_{\text{ГПУ-2}} \cdot \kappa_{K\text{Ч}} = \frac{\sqrt{3}}{2} \cdot \frac{3}{8} \cdot 4 = 1,29904$.

ОТР-2: Cr₅C₂ – Cr₃C₂ ($x = 0,4 \dots 0,66667$), KO – Cr₇C₃. Во второй области постоянная $K_2 = k_{\text{ГПУ-2}} \cdot k_{\text{ромб.-4}} \cdot \kappa_{K\text{Ч}} = \frac{3}{8} \cdot 2\sqrt{2} \cdot 4 = 4,24264$.

Расчетные уравнения (4) для ОТР-1 и ОТР-2 принимают соответственно вид:

$$S_{in}^{-1}(\text{CrC}_x) = 0,13931 - 0,14415x, \quad (27)$$

$$S_{in}^{-1}(\text{CrC}_x) = 0,07174 + 0,02622x. \quad (28)$$

В табл. 4 приведены результаты расчета энтропий карбидов хрома при различных температурах. В верхних строках таблицы приведены значения, рассчитанные по литературным аналитическим зависимостям, в нижних – рассчитанные по изложенной выше методике. Граница, разделяющая ОТР, до температуры ~ 400 К первоначально незначительно обогащается углеродом (x_{1-2} меняется от 0,39661 до 0,41306), при дальнейшем повышении температуры – смещается влево к карбидам с меньшим содержанием углерода.

В качестве проверки сходимости результатов расчета было проведено определение энтропий карбидов в том же температурном диапазоне по уравнению Кирхгофа с использованием уравнений (22)–(25). Результаты также представлены в табл. 4 (в круглых скобках). Значения энтропий, рассчитанные различными способами, сопоставимы.

Таблица 4

Молярные энтропии карбидов хрома
при различных температурах (Дж/моль·К)

Вещество	Температура, К					
	298	400	600	800	1000	1200
Cr	23,604±0,209	30,859	42,071	50,831	58,139	64,499
C	5,740±0,126	9,038	15,336	20,608	25,065	28,938
Cr ₆ C	(200,253) 151,542	(275,860) 199,382	(334,843) 274,171	(383,892) 332,614	(426,436) 381,520	(424,028)
Cr ₄ C	105,855±1,674 105,368	(139,844) 138,760	(192,510) 191,519	(233,571) 232,801	(267,710) 267,364	(297,321) 297,416
Cr ₂₃ C ₆	610,027±2,929 609,523	806,857 802,646	1112,828 1108,313	1350,191 1347,537	1546,133 1547,842	1714,854 1722,018
Cr ₃ C	(109,857) 83,076	(151,361) 109,199	(183,515) 151,178	(210,044) 184,090	(232,882) 211,665	(232,882) 235,654
Cr ₅ C ₂	144,766±1,255 144,770	(191,268) 189,938	(263,047) 263,472	(318,358) 320,954	(363,765) 367,187	(402,673) 406,504
Cr ₇ C ₃	202,087±1,255 202,090	267,883 267,885	369,397 369,421	447,604 447,559	511,803 511,965	566,811 566,732
Cr ₃ C ₂	84,935±0,412 84,687	115,873 111,861	163,395 153,662	199,830 185,814	229,613 212,324	255,035 234,849

ЭНТАЛЬПИЯ ОБРАЗОВАНИЯ. В таблице 5 приведены наиболее надежные справочные величины стандартных энталпий образования карбидов хрома. Таким образом, диаграмма $h(x)$ для системы Cr – C разделена на три ОТР.

OTP-1: Cr – Cr₂₃C₆ ($x = 0 \dots 0,26087$), KO – Cr. В первой области структурный коэффициент $K_1 = k_{\text{ОЦК-2}} \cdot k_{\text{ГЦК-4}} \cdot \kappa_{KQ} = -\frac{1}{\sqrt{2}} \cdot \frac{1}{4} \cdot 4 = 0,70711$.

Уравнение (7) для данной области ($x = 0 \dots 0,26087$) принимает вид

$$h_1(\text{CrC}_x) = 0,70711x. \quad (29)$$

OTP-2: Cr₂₃C₆ – Cr₇C₃ ($x = 0,26087 \dots 0,42857$), KO – Cr₂₃C₆. Во второй области $K_2 = k_{\text{ГЦК-4}} \cdot k_{\text{ГПУ-8}} \cdot \kappa_{KQ} = \frac{\sqrt{2}-1}{4} \cdot \frac{9\sqrt{3}}{2} \cdot 6 = 4,84271$.

Для второй области ($x = 0,26087 \dots 0,42857$) уравнение (7) принимает вид

$$h_2(\text{CrC}_x) = -1,07964 + 4,84271x. \quad (30)$$

OTP-3: Cr₇C₃ – Cr₃C₂ ($x = 0,42857 \dots 0,66667$), KO – Cr₇C₃. Для третьей области $K_3 = k_{\text{ГПУ-8}} \cdot k_{\text{ромб}} \cdot \kappa_{KQ} = \frac{1}{4} \cdot \frac{\sqrt{3}-1}{3} \cdot 6 = 0,366025$.

Расчетное уравнение (7) для данной области ($x = 0,42857 \dots 0,66667$)

$$h_3(\text{CrC}_x) = 0,83893 + 0,366025 x. \quad (31)$$

Результаты расчетов по уравнениям (29)–(31) представлены в табл. 5. Совместное решение уравнений модели для смежных областей позволяет определить координаты границ: $x_{1-2} = 0,26106$ (соединение Cr_{23}C_6), $x_{2-3} = 0,42857$. В табл. 5 приведены результаты расчета энталпий образования $\Delta_f H_T^\circ$ карбидов хрома при различных температурах по уравнению Кирхгофа.

Таблица 5

Энталпии образования карбидов хрома произвольного состава
при различных температурах (кДж/моль)

Вещест- во	Temperatura, K					
	298	400	600	800	1000	1200
Cr_6C	-17,678	-0,749	+36,693	+77,775	+121,788	+168,479
Cr_4C	-18,031	-6,219	+19,861	+48,459	+79,093	+111,604
Cr_{23}C_6	$-108,000 \pm 8,368$					
	$-108,233 \pm 0,231$	-39,815	+111,690	+276,982	+452,784	+638,004
Cr_3C	-41,697	-32,389	-11,830	+10,551	+34,353	+59,425
Cr_5C_2	-113,183	-97,022	-61,488	-22,977	+17,759	+60,468
Cr_7C_3	$-185,770 \pm 8,368$					
	$-185,215$	-162,349	-112,096	-57,643	-0,048	+60,334
Cr_3C_2	$-91,000 \pm 3,138$					
	$-90,968$	-80,217	-56,696	-31,331	-4,613	+23,292

По уравнению Гиббса с использованием полученных ранее величин S_T° и $\Delta_f H_T^\circ$ (табл. 4, 5) рассчитаны $\Delta_f G_T^\circ$ карбидов хрома (табл. 6.).

В пятой главе рассмотрена система «хром–кремний».

ТЕПЛОЕМКОСТЬ. Из анализа кристаллических структур силицидов хрома следует, что на диаграмме $C_p^{-1} - x$ должны быть выбраны две ОТР:

OTP-1: $\text{Cr}(\text{ОЦК-2}) - \text{Cr}_3\text{Si}$ (куб.-4) – Cr_2Si (куб.-4) – Cr_5Si_3 (тетр.) – Cr_4Si_3 (тетр.);
OTP-2: Cr_4Si_3 (тетр.) – CrSi (куб.-4) – Cr_5Si_4 (куб.-8) – ... – CrSi_2 (ГПУ-6).

OTP-1: $\text{Cr} - \text{Cr}_4\text{Si}_3$ ($x = 0 \dots 0,75$), KO – Cr. Из анализа взаимосвязи структура–состав следует, что граница раздела ОТР проходит через состав Cr_4Si_3 ($\text{CrSi}_{0,75}$), где происходит изменение кристаллических сингоний. Однако для

Cr_4Si_3 данные отсутствуют, поэтому при расчетах используется величина $C_p^*(\text{Cr}_5\text{Si}_3)$, тогда $K_1 = k_{\text{ОЦК}-2} \cdot k_{\text{куб.-4}} \cdot \kappa_{K\gamma} = 2(\sqrt{3} - 1) \cdot \frac{1}{8} \cdot 6 = 1,09808$.

Расчеты в первой области ($x = 0 \dots 0,75$) проводятся по уравнению

$$C_p^{-1}(\text{CrSi}_x) = 0,04246 - 0,05729x. \quad (32)$$

Таблица 6

Энергии Гиббса образования карбидов хрома произвольного состава при различных температурах (кДж/моль)

Вещество	Температура, К					
	298	400	600	800	1000	1200
Cr_6C	-18,186	-1,834	+34,324	+74,146	+116,639	+161,835
Cr_4C	-19,238	-8,073	+16,106	+42,689	+70,998	+101,061
Cr_{23}C_6	-116,524 -115,152	-51,480	-11,850	+240,780	+402,005	+571,811
Cr_3C	-43,273	-34,927	-16,878	+2,753	+23,406	+45,089
Cr_5C_2	-117,118	-103,223	-73,725	-41,787	-6,543	+31,652
Cr_7C_3	-189,535 -190,207	-171,096	-127,724	-79,259	-26,961	+29,786
Cr_3C_2	-91,630 -91,387	-80,205	-54,024	-24,021	+8,846	+44,647

OTP-2: $\text{Cr}_4\text{Si}_3 - \text{CrSi}_2$ ($x = 0,75 \dots 2,0$), KO – CrSi . Во второй области структурный коэффициент $K_2 = k_{\text{тетра}} \cdot k_{\text{ГЛУ-6}} \cdot \kappa_{K\gamma} = = \frac{1}{8} \cdot \frac{1}{\sqrt{2} - 1} \cdot 6 = 1,81066$.

Для второй области ($x = 0,75 \dots 2,0$) уравнение (2) принимает вид

$$C_p^{-1}(\text{CrSi}_x) = 0,02865 - 0,00648x. \quad (33)$$

Результаты расчетов по уравнениям (33) и (34) приведены на рис. 3 (линия 1). Совместным решением уравнений (32) и (33) находим состав, отвечающий границе между OTP-1 и OTP-2 $x_{1-2} = 0,72228$, что близко к составу соединения Cr_4Si_3 ($\text{CrSi}_{0,75}$).

Определение молярных теплоемкостей силицидов хрома для других температур проводилось аналогично определению теплоемкости карбидов хрома (рис. 3, линии 2–6). После обработки результатов методами математической

статистики получены полиномы температурных зависимостей молярных теплоемкостей малоизученных силицидов:

$$C_p(\text{Cr}_2\text{Si}) = 73,320 + 28,831 \cdot 10^{-3}T - 12,690 \cdot 10^5 T^{-2}, \quad (34)$$

$$C_p(\text{Cr}_2\text{Si}_3) = 112,596 + 41,594 \cdot 10^{-3}T - 17,181 \cdot 10^5 T^{-2}. \quad (35)$$

Температурная зависимость молярной теплоемкости силицидов хрома гравийного состава имеет вид

$$C_p(\text{CrSi}_{x_{1-2}}) = 45,093 + 14,555 \cdot 10^{-3}T - 6,889 \cdot 10^5 T^{-2}. \quad (36)$$

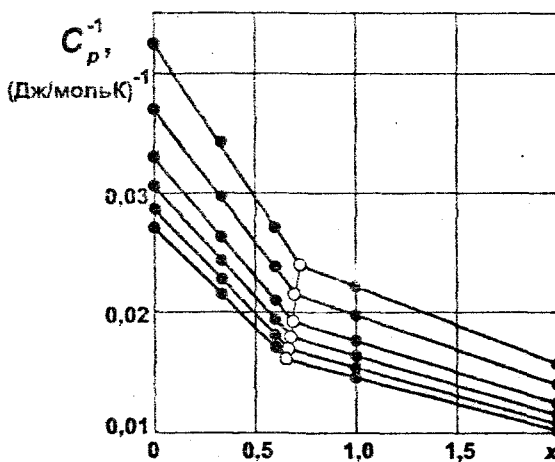


Рис. 3. Изотермы зависимости обратной теплоемкости силицидов хрома от состава:
1 – 298 К, 2 – 400 К, 3 – 600 К, 4 – 800 К,
5 – 1000 К, 6 – 1200 К,
• – эксперимент, — – расчет

Уравнение (4) для данной области ($x = 0 \dots 0,33333$) принимает вид

$$S_m^{-1}(\text{CrSi}_x) = 0,13931 - 0,21636x. \quad (37)$$

OTP-2: $\text{Cr}_2\text{Si} - \text{CrSi}$ ($x = 0,33333 \dots 1,0$), KO – Cr_2Si . Во второй области постоянная $K_2 = k_{\text{куб.}-2} \cdot k_{\text{куб.}-4} \cdot \kappa_{KQ} = \frac{3\sqrt{3}}{8} \cdot \frac{\sqrt{3}}{4} \cdot 4 = 1,12500$.

Для второй области ($x = 0,33333 \dots 1,0$) уравнение (4) приводится к виду:

$$S_m^{-1}(\text{CrSi}_x) = 0,08241 - 0,04485x. \quad (38)$$

ЭНТРОПИЯ. Анализ имеющейся информации по составам, структуре и энтропиям силицидов хрома показывает, что в рассматриваемой системе следует выделить три области твердых растворов.

OTP-1: $\text{Cr} - \text{Cr}_2\text{Si}$

($x = 0 \dots 0,33333$), KO – Cr .

Для первой области структурная постоянная $K_1 = k_{\text{ОЦК}-2} \cdot k_{\text{куб.}-2} \cdot \kappa_{KQ} =$

$$= \frac{1}{12(\sqrt{2}-1)} \cdot \frac{3\sqrt{3}}{8} \cdot 4 =$$

$$= 0,52269.$$

OTP-3: CrSi – CrSi₂ ($x = 1.0 \dots 2.0$), **KO – CrSi**. Для третьей области структурный коэффициент $K_3 = k_{\text{куб.-4}} \cdot k_{\text{ГПУ-6}} \cdot \kappa_{K4} = \frac{8\sqrt{2}}{3} \cdot \frac{\sqrt{3}-1}{6} \cdot 6 = 2,76074$.

Расчеты в третьей области ($x = 1.0 \dots 2.0$) проводились по уравнению

$$S_{in}^{-1}(\text{CrSi}_x) = 0,04717 - 0,00985x. \quad (39)$$

Вычисленные по уравнениям (37)–(39) значения S_{in}^{-1} показаны на рис. 4 (линия 1). Результаты расчетов согласуются с экспериментальными данными. Совместное решение уравнений (37) и (38), (38) и (39) подтверждает правильность выбора границ между OTP: $x_{1-2} = 0,33176$, $x_{2-3} = 1,00686$.

На рис. 4 (линии 2–6) приведены результаты расчета энтропий S силицидов хрома при различных температурах по базовому уравнению (5) с учетом предположения, что в области устойчивости кристаллообразующего компонента (отсутствие в данном температурном интервале полиморфизма и фазовых превращений) структурная постоянная K_e не зависит от температуры.

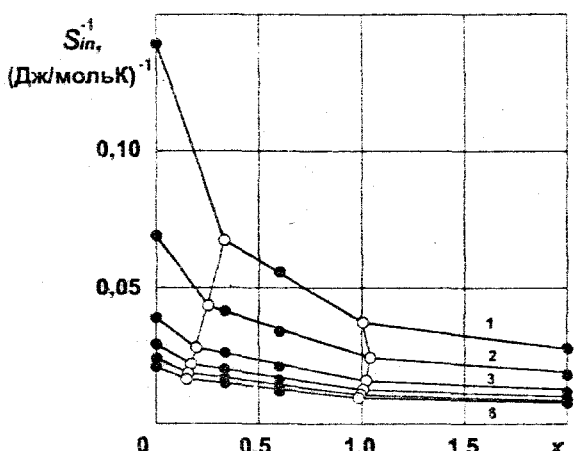


Рис. 4. Изотермы зависимостей обратной энтропии взаимодействия силицидов хрома от состава:

1 – 298, 2 – 400, 3 – 600, 4 – 800, 5 – 1000, 6 – 1200 K

• – эксперимент, — – расчет

Как следует из рис. 4 содержание кремния в соединениях, отвечающих границе между OTP-1 и OTP-2, при возрастании температуры до 1200 K уменьшается более чем в 2 раза. Граница между второй и третьей OTP первоначально (до температуры ~400 K) незначительно обогащается кремнием (x_{2-3} меняется от 1,00686 до 1,03930), затем смещается к силицидам с меньшим содержанием растворенного компонента и при температуре 1200 K составляет 0,98445.

ЭНТАЛЬПИЯ ОБРАЗОВАНИЯ. Имеющаяся справочная информация по составу, строению и энталпиям образования силицидов хрома, а также анализ характера зависимости $S_{in}^{-1}(x)$ показывают, что для исследуемой системы диа-

грамм $h - x$ так же должна содержать три ОТР с теми же границами или близкими к ним.

OTP-1: Cr – Cr₃Si ($x = 0 \dots 0,33333$), KO – Cr. В первой области структурная постоянная $K_1 = k_{\text{ОПК}} \cdot k_{\text{куб}} \cdot k_{K\text{Ч}} = 2 \frac{\sqrt{3}}{4} \cdot \frac{3\sqrt{3}}{4\sqrt{2}} \cdot 6 = 4,77297$.

Расчетное уравнение (7) для данной области ($x = 0 \dots 0,33333$) приводится к виду

$$h_1(\text{CrSi}_x) = 4,77297 x. \quad (40)$$

OTP-2: Cr₃Si – Cr₅Si₃ ($x = 0,33333 \dots 0,6$), KO – Cr₅Si₃. Для второй области структурный коэффициент $K_2 = k_{\text{куб}-4} \cdot k_{\text{ГПУ}-4} \cdot k_{K\text{Ч}} = \frac{3\sqrt{3}}{4\sqrt{2}} \cdot \frac{\sqrt{3}}{4} \cdot 4 = 1,59099$.

Для второй области ($x = 0,33333 \dots 1,0$) уравнение (7) принимает вид

$$h_2(\text{CrSi}_x) = 1,06066 + 1,59099 x. \quad (41)$$

OTP-3: Cr₅Si₃ – CrSi₂ ($x = 0,6 \dots 2,0$), KO – CrSi. В третьей области структурный коэффициент $K_3 = k_{\text{ГПУ}-4} \cdot k_{\text{ГПУ}-8} \cdot k_{K\text{Ч}} = \frac{\sqrt{3}}{4} \cdot \frac{1}{2\sqrt{2}} \cdot 4 = 0,61237$.

В третьей области ($x = 1,0 \dots 2,0$) расчеты проводились по уравнению

$$h_3(\text{CrSi}_x) = 2,38267 - 0,61237 x \quad (42)$$

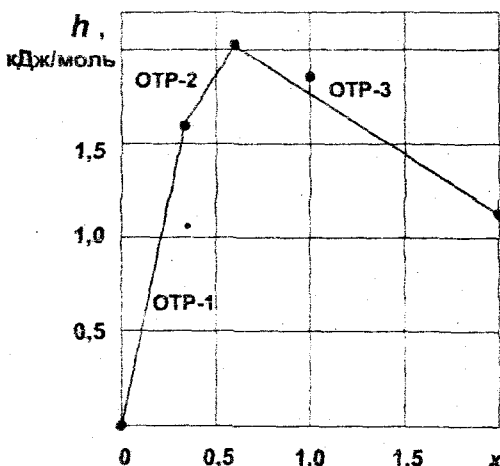


Рис. 5. Зависимость стандартной удельной энталпии образования силицидов хрома от состава: • – эксперимент, — – расчет

Результаты расчетов по уравнениям (40)–(42) приведены на рис. 5. Решая совместно уравнения (40) и (41), (41) и (42), определяем координаты границ между ОТР: $x_{1-2} = 0,33333$ ($\text{CrSi}_{0,33333}$ (Cr_3Si)); $x_{2-3} = 0,599997$ ($\sim\text{Cr}_5\text{Si}_3$ ($\text{CrSi}_{0,6}$)).

Расчеты энタルпий образования $\Delta_f H^\circ$ силицидов хрома при различных температурах проводились по уравнению Кирхгофа с использованием температурных зависимостей молярных теплоемкостей силицидов.

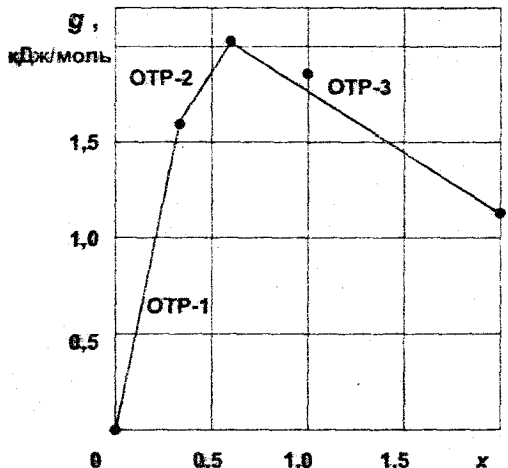


Рис.6. Зависимость удельной энергии Гиббса силицидов хрома от состава:
• – эксперимент, — – расчет

Расчет энергии Гиббса образования силицидов хрома произвольного состава при температурах от 298 до 1200 К проводился аналогичным образом (главы 3 и 4).

Удельная энергия Гиббса, как и удельная энталпия h , образует при стандартных условиях три области твердых растворов в функции от состава x с теми же границами (рис. 6).

ОСНОВНЫЕ РЕЗУЛЬТАТЫ И ВЫВОДЫ

1. Разработаны методики расчета стандартной молярной теплоемкости, стандартной энтропии для бинарных кристаллических соединений металлов с компонентом, являющимся кристаллическим веществом при стандартных условиях.
2. Рассчитаны стандартные молярные теплоемкости и энтропии кристаллических карбидов и силицидов хрома. Адекватность разработанных моделей подтверждена экспериментальными (справочными) данными.
3. Подтверждена адекватность использованных моделей расчета стандартных энталпий образования и энергии Гиббса образования справочными данными по кристаллическим оксидам, карбидам и силицидам хрома.
4. Подтверждена эффективность предложенного принципа преемственности линейных характеристик k граничных соединений при определении структурных коэффициентов K , областей квазиравновесных твердых растворов для моделей расчета молярной теплоемкости, энтропии и энталпии образования.
5. Разработаны модели расчета молярной теплоемкости и энтропии при различных температурах для бинарных кристаллических соединений металлов с компонентом, являющимся кристаллическим веществом при стандартных условиях.
6. Рассчитаны молярные теплоемкости и энтропии при различных температурах для кристаллических карбидов и силицидов хрома. Адекватность разра-

ботанных моделей подтверждена экспериментальными (справочными) данными.

7. Определены температурные зависимости молярных теплоемкостей для малоизученных экспериментально бинарных соединений хрома (оксидов, карбидов и силицидов).

8. С использованием результатов расчетов при стандартной температуре и известных теоретических зависимостей рассчитаны термодинамические характеристики (теплоемкость, энтропия, энタルпия образования, энергия Гиббса образования) оксидов, карбидов и силицидов хрома произвольного состава для различных температур.

Основное содержание диссертации изложено в работах:

1. Рябухин, А.Г. Сравнительный анализ приближенных методов расчета абсолютной энтропии на примере оксидов *d*-элементов IV периода / А.Г. Рябухин, О.Н. Груба // Изв. ЧНЦ УрО РАН. – 2005. – Вып. 4(30). – С. 41–45.
2. Рябухин, А.Г. Энтропия кристаллических оксидов хрома / А.Г. Рябухин, О.Н. Груба // Изв. ЧНЦ УрО РАН. – 2005. – Вып.4(30). – С. 36–40.
3. Груба, О.Н. Стандартная свободная энергия Гиббса кристаллических оксидов хрома переменного состава / О.Н. Груба, А.Г. Рябухин // Вестник ЮУрГУ. Серия «Металлургия». – 2005. – Вып. 6. – № 10 (50) – С. 14–16.
4. Груба, О.Н. Стандартные теплоемкости и энтропии карбидов хрома переменного состава / О.Н. Груба, А.Г. Рябухин // Вестник ЮУрГУ. Серия «Металлургия». – 2005. – Вып. 6. – № 10 (50) – С. 3–8.
5. Рябухин, А.Г. Расчет стандартных энталпий и энергий Гиббса образования карбидов хрома произвольного состава / А.Г. Рябухин, О.Н. Груба // Вестник ЮУрГУ. Серия «Металлургия». – 2005. – Вып. 6. – № 10 (50) – С. 9–13.
6. Рябухин, А.Г. Расчет стандартной энталпии кристаллических оксидов хрома. / А.Г. Рябухин, О.Н. Груба // Изв. ЧНЦ УрО РАН. – Вып. 2(32). – 2006. – С. 29–32.
7. Рябухин, А.Г. Расчет энтропии нестехиометрических оксидов хрома / А.Г. Рябухин, О.Н. Груба. // Высокие технологии, фундаментальные исследования, образование. Т. 5: Сборник трудов Второй Международной научно-практической конференции «Исследование, разработка и применение высоких технологий в промышленности». 7–9 февраля 2006 г. Санкт-Петербург. Россия / Под ред. А.П. Кудинова, Г.Г. Матвиенко, В.Ф. Самокина. СПб.: Изд. СППУ, 2006. – С. 283–285.

8. Груба, О.Н. Расчет стандартной теплоемкости нестехиометрических силицидов хрома / О.Н. Груба, А.Г. Рябухин // Компьютерное моделирование физико-химических свойств стекол и расплавов: Труды VIII Российского семинара / Под общей ред. Б.С. Воронцова. – Курган: Изд. КГУ, 2006. – С. 72–74.
9. Рябухин, А.Г. Термохимические характеристики силицидов хрома при стандартных условиях / А.Г. Рябухин, О.Н. Груба // Вестник ЮУрГУ. Серия «Металлургия». – 2006. – Вып. 7. – № 10. – С. 19–26.
10. Груба, О.Н. Температурные зависимости термических характеристик силицидов хрома переменного состава / О.Н. Груба, А.Г. Рябухин // Вестник ЮУрГУ. Серия «Металлургия». – 2006. – Вып. 7. – № 10. – С. 27–29.
11. Рябухин, А.Г. Энталпия образования силицидов 3d-элементов периодической системы Д.И. Менделеева / А.Г. Рябухин, О.Н. Груба // Вестник ЮУрГУ. Серия «Математика, физика, химия». – 2007. – Вып. 8. – № 3(75). – С. 74–82.

Издательство Южно-Уральского государственного
университета

Подписано в печать 09.04.2007. Формат 60×84×1/16. печать офсетная.

Усл. печ. л. 1,16. Уч.-изд. л. 1. Тираж 100 экз. Заказ 79/120.

Отпечатано в типографии Издательства ЮУрГУ, 454080, г. Челябинск,
пр. им. В.И. Ленина, 76